

图 11 硅磁敏二极管互补电路工作曲线和输出电压

电阻(见图 12)，总可以使输出电压  $V_1 - V_2 = 0$ 。由此可见，硅磁敏二极管和差分式补偿电路同其它两种补偿电路相比，具有灵敏度高、稳定性好等优点。

### 参考文献

- [1] 新井、山田，電子材料，12(1971), 61。
- [2] 山田敏之，特許公報，昭 45-24062。
- [3] И. М. Викулин и др., ФТП, 9-12 (1975), 2360,

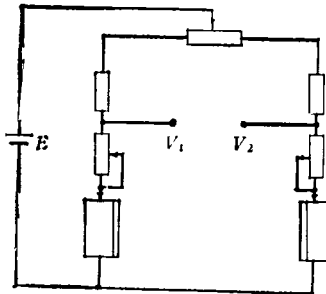


图 12 差分电路输出电压  $V_1 - V_2$  补偿方法

- [4] Э. И. Каракушан и др., ФТП, 3 (1961), 677, 2031。
- [5] Е. И. Гамолин и др., ФТП, 9-8 (1975), 1465.
- [6] Г. А. Егиазарян и др., ФТП, 9-7 (1975), 1252.
- [7] I. I. Munteanu, Rev. Roum. Phys., 18-3(1973), 323.
- [8] 片岡照榮，電子材料，1(1973), 70。
- [9] Э. И. Каракушан и др., ФТП, 9-8 (1975), 1441.
- [10] 黄得星，电子科学技术，1978 年，第 2 期，第 35 页。

## 微波段金属表面问题的基本理论和测量

黄志洵

(中国计量科学研究院)

微波元件的质量和精度，极大地取决于金属表面的加工和镀覆状况。衡量微波段金属表面损耗的主要参数有：表面电阻  $R_m$  (或  $R_t$ )、趋肤深度  $\tau$  和  $Q$  深度  $s_Q$ 、表面有效电导率  $\sigma_{eff}$  等。它们不取决于微波元件的尺寸，又包括在微波电参数的主要公式中，因而是表征金属表面损耗的良好参数。

确定金属材料的复表面阻抗是重要的。这一工作在微波段有多方面的应用。例如，改进谐振腔的  $Q$  值，减小传输波导的损耗，提高标准截止衰减器的精确度，改进反射标准的质量等。此外，可以研究金属表面氧化层的影响（例如铜放在空气中时氧化层厚度的增加与时间的平方根成正比，它降低腔体  $Q$  值，增大波导损耗）。因而，对微波表面问题应给予足够的重视。

### 一、单层平面金属的表面阻抗

可以把金属看成为具有复介电常数的介质，即

$$\epsilon_c = \epsilon + \frac{\sigma}{j\omega} = \epsilon \left(1 + \frac{\sigma}{j\omega\epsilon}\right),$$

物理

式中  $\sigma$  是电导率， $\omega$  是角频率， $\epsilon$  是介电常数 ( $\epsilon = \epsilon_r \epsilon_0$ )。上述关系式是根据麦克斯韦方程式得到的。 $\sigma \gg \omega\epsilon$  的材料叫良导体，一般金属都满足。 $\sigma \approx \omega\epsilon$  只发生在很高的频段，例如紫外光频率。金属的介电常数有很大的虚部。

在导体中，均匀平面波的传播常数为

$$\gamma_c = j\omega \sqrt{\mu\epsilon_c}.$$

波在导体内的衰减将由下述因子决定：

$$e^{-\gamma_c z} = e^{-(\alpha_c + j\beta_c)z} = e^{-\alpha_c z} e^{-j\beta_c z},$$

这里  $z$  代表波传播方向的坐标轴。

均匀平面波的本征阻抗（电场强度与磁场强度之比）为

$$Z_m = \sqrt{\frac{\mu}{\epsilon_c}} = \sqrt{\frac{\mu}{\epsilon \left(1 + \frac{\sigma}{j\omega\epsilon}\right)}},$$

式中  $\mu$  是导磁率 ( $\mu = \mu_r \mu_0$ )。

厚度为  $d$  的平面金属，表面阻抗是  $Z_m \cosh \gamma_c d$ ，故归一化表面阻抗为

$$Z_f = \frac{Z_m}{Z_0} \operatorname{ctn} r_c d, \quad (1)$$

式中  $Z_0$  是空气波阻抗 ( $Z_0 = \sqrt{\mu_0/\epsilon_0}$ )。把  $Z_m, Z_0, r_c, \sigma$  代入，整理后可得

$$Z_f = \sqrt{\frac{\mu_r}{\sigma_r - i(\sigma/\omega\epsilon_0)}} \operatorname{ctn} \left[ j\omega d \sqrt{\frac{\mu}{\epsilon + (\sigma/j\omega)}} \right]. \quad (2)$$

这是个比较全面的公式。根据数学，当变量  $x$  小时， $\operatorname{ctn} x \approx \frac{1}{x}$ ；故可证明在  $r_c d$  小时，有

$$Z_f \approx \frac{Z_m}{Z_0} \frac{1}{r_c d} = \sqrt{\frac{\epsilon_0}{\mu_0}} \frac{1}{\sigma_c} \frac{1}{j\omega d}. \quad (3)$$

对于良导体， $\frac{1}{\sigma_c} \approx \frac{j\omega}{\sigma}$ ，故得

$$Z_f \approx \sqrt{\frac{\epsilon_0}{\mu_0}} \frac{1}{\sigma d}. \quad (4)$$

当  $r_c d$  大时，有

$$\operatorname{ctn} r_c d = \frac{e^{r_c d} + e^{-r_c d}}{e^{r_c d} - e^{-r_c d}} \approx 1,$$

因而有

$$Z_f \approx \frac{Z_m}{Z_0}. \quad (5)$$

## 二、趋肤深度

把  $\sigma_c$  代入  $r_c$ ，得

$$r_c = j \sqrt{\omega^2 \mu \sigma} \left( 1 + \frac{\sigma}{j\omega\sigma} \right).$$

对良导体 ( $\sigma \gg \omega\sigma$ )，得

$$r_c \approx j \sqrt{\frac{\omega \mu \sigma}{2}} = \sqrt{\frac{\omega \mu \sigma}{2}} (1 + j).$$

因而， $e^{-r_c z}$  的实部为

$$e^{-r_c z} = e^{-\sqrt{\frac{\omega \mu \sigma}{2}} z}.$$

取它为  $1/e$ ，并规定这时  $z = \tau$ ，则得

$$\sqrt{\frac{\omega \mu \sigma}{2}} \tau = 1,$$

故得

$$\tau \approx \sqrt{\frac{2}{\omega \mu \sigma}} = \frac{1}{\sqrt{\pi \mu \sigma}}, \quad (6)$$

式中近似号说明：这个趋肤深度公式只对良导体适用。

因此，可以把  $r_c$  的形状改写为

$$r_c \approx \sqrt{j\omega \mu \sigma} = (1 + j) \sqrt{\pi \mu \sigma} = \frac{1 + j}{\tau},$$

因而当  $r_c d$  较大时，有

$$Z_f \approx \sqrt{\frac{\epsilon_0}{\mu_0}} \sqrt{\frac{\pi \mu \sigma}{\sigma}} (1 + j). \quad (7)$$

令

$$R_f = \sqrt{\frac{\epsilon_0}{\mu_0}} \sqrt{\frac{\pi \mu \sigma}{\sigma}} = \frac{\pi \mu \tau}{\lambda}, \quad (8)$$

则得

$$Z_f \approx R_f (1 + j) = \frac{\pi \mu \tau}{\lambda} (1 + j), \quad (9)$$

式中  $\lambda$  是波长。

在  $d \gg \tau$  的条件下，取  $\operatorname{ctn} r_c d \approx 1$ ，总是没有问题的。表 1 给出的计算，可以看到 (9) 式的应用范围很宽。只有在频率很低时（比 1 兆赫还低得多），才需要用到 (2) 式。但那已不是超高频（更不是微波）的范围了。

表 1  $\operatorname{ctn} |r_c d|$  的计算值

实例	金属厚度 $d$ (mm)	趋肤深度 $\tau$ (mm)	比值 $d/\tau$	$ r_c d $	$\operatorname{ctn}  r_c d $	与 1 的偏差 (%)
No.						
1	2	0.08	25	35	1	0
2	1	0.5	2	2.8	1.0074	0.74
3	0.5	0.5	1	1.4	1.125	12.5

图 1 表示  $Z_f$  与  $f$  关系的函数图象。可以看到，在大的频率范围内， $Z_f$  的实部、虚部都与  $f$  成正比。拐点频率  $f_s$  是若干千赫的数量级，因而在我们的问题中，差不多可不考虑。

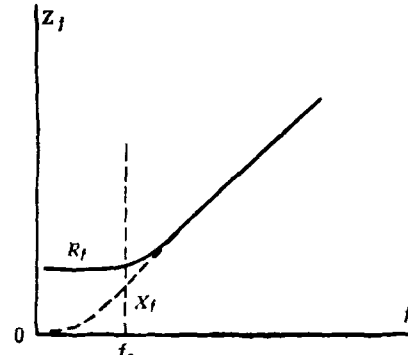


图 1

频率越高，趋肤深度越小，这是众所周知的。表 2 是黄铜 (H62) 的计算值。可见，在频率高达 50 GHz 时， $\tau$  值低达  $0.6 \mu\text{m}$ ，这时表面的加工光洁度和镀覆状况有决定性意义。

表 2 黄铜趋肤深度计算值

频率 $f$ (MHz)	5	30	50000
趋肤深度 $\tau$ ( $\mu\text{m}$ )	60	24.5	0.6

电导率增加时， $\tau$ 也减小。图2绘出定性的关系曲线。

但是，公式(6)仅仅是近似式。从理论上的严格完整出发，应该了解在对  $\sigma/\omega\epsilon$  比值不作规定时，趋肤深度的计算公式为

$$\tau = \frac{1}{\omega \sqrt{\frac{\mu\epsilon}{2}} \left( \sqrt{1 + \left( \frac{\sigma}{\omega\epsilon} \right)^2} - 1 \right)}. \quad (10)$$

用此式可以进行准确的计算。

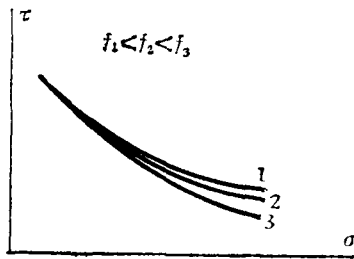


图 2

鉴于在许多精密的高频、超高频、微波仪器中，确定趋肤深度的值具有重要意义，国外曾经提出过直接测量趋肤深度的技术。所建议的装置是一种双同轴线系统，内部包含一段薄壁金属管（可以透过高频能量）。 $\tau$  的测量精度可达 3%。

### 三、表面阻抗在分析中的应用

均匀平面波的本征阻抗又可写成

$$Z_m = \sqrt{\frac{\mu}{\epsilon + \frac{\sigma}{j\omega}}} = \sqrt{\frac{j\omega\mu}{\sigma + j\omega\epsilon}}.$$

对良导体， $\sigma \gg \omega\epsilon$ ，故得

$$Z_m \approx \sqrt{\frac{j\omega\mu}{\sigma}} = \sqrt{\frac{\omega\mu}{\sigma}} e^{j\frac{\pi}{4}}. \quad (11)$$

故归一化表面阻抗为

$$Z_f = \frac{Z_m}{Z_0} = \sqrt{\frac{\omega\mu}{\sigma}} e^{j\frac{\pi}{4}} \left( \frac{\mu_0}{\epsilon_0} \right)^{-1/2}. \quad (12)$$

$\sigma$  越大， $Z_f$  越小。只要是良导体，表面阻抗小。

理想的导体  $\sigma = \infty$ ，介电常数虚部也是  $\infty$ ，表面的电场切线方向分量为零，导体内部电场为零。对于良导体，这种观点不完全正确。**Леонтьевич**<sup>11</sup> 曾提出良导体的近似边界条件，它近似地描写一般金属表面切向场（电场和磁场）的比例关系，即

$$E_c = H_c \times n \sqrt{\frac{\omega\mu}{\sigma}} e^{j\frac{\pi}{4}}.$$

在表面为平面时，这一条件可写成<sup>12</sup>

$$\frac{E_x}{H_y} = Z_m,$$

$$\frac{E_x}{H_y} = -Z_m.$$

尽管对于良导体， $Z_m$  很小，但这一条件显然可使理论计算的精确度提高一步，比按理想导体考虑问题好多了，虽然它还不很准确。可以看到，**Леонтьевич** 条件已暗含了表面阻抗的概念， $Z_m$  即是这一条件中的比例常数。由于这一条件的帮助，人们处理的已是实际导体而非理想导体。电磁场在导体表面集中的现象叫普通趋肤效应， $\sigma$  很大 ( $\tau$  很小) 的时候叫强趋肤效应。**Леонтьевич** 条件是在强趋肤效应时产生的。它的应用要满足好几个条件，其中一个

$$\tau \ll r,$$

这里  $r$  是表面的曲率半径。因此，要求曲率不大 ( $r$  大)，这时才可以把导体表面邻近的波看成平面波。

对  $Z_m$ ,  $Z_f$  的计算，是判定 **Леонтьевич** 条件能否运用的依据，也是判定表面阻抗微扰法能否运用的依据。因此，电导率的高低具有决定性意义。以波导为例，理想导电壁波导中的电波和磁波是简正波，未与其它波发生耦合。如果波导壁不是理想导电，则会引起寄生波，发生波的耦合。波导中的场可写作

$$\Psi = M_0 + \sum_{i=1}^{\infty} \tau_i M_i,$$

其中  $M_0$  是主模， $M_i$  是寄生模， $\tau_i$  是耦合系数。 $\tau_i$  与表面阻抗有关。表面阻抗越小， $\tau_i$  越小， $M_0$  模越稳定。

非理想导电壁圆波导中的波传播，从原理上讲可以用解麦克斯韦方程组，导出 Carson-Mead-Shelkunoff 方程<sup>13</sup> 后严格求解，实际上数学困难非常大<sup>2</sup>。表面阻抗微扰法严格性稍差，但简便易行。这一方法的条件也是良导体 ( $\sigma$  很大)。最早，Barrow<sup>14</sup> 用来解  $E_{0n}$  波；以后，Karbowiak<sup>15</sup>，Лошаков<sup>16</sup>，林为干<sup>17</sup> 解了截止频率以上的情况；本文作者<sup>18</sup> 解了截止频率以下的情况（圆形波导中  $E_{0n}$ ,  $H_{1n}$  波）。这些实践都证明表面阻抗微扰法是成功的，比切向场连续条件等方法更方便、灵活，精确度也好。

基本问题是解传播常数。当波沿  $z$  正向在理想导电壁波导中传播时，场分量正比于  $e^{j\omega t - \gamma_0 z}$ （传播常数  $\gamma_0$  是纯虚数）；波在非理想导电壁波导中传播时，正比于  $e^{j\omega t - \gamma z}$  ( $\gamma$  有实部)。把  $\gamma$  看成由于微扰效应的结果，即

$$\gamma = \gamma_0 + \delta\gamma,$$

其中  $\delta\gamma$  决定于截断系数的微扰量：

$$\delta h = h - h_0 = h - \frac{2\pi}{\lambda_c},$$

1) 取直角坐标系  $(x, y, z)$ ,  $z$  为正向。

2) 用数字电子计算机有可能针对具体的高精度设计解这个超越方程 (CMS 方程)。

式中  $\lambda_c$  是截止波长, 由波导横截面尺寸决定,  $\delta h$  由  $Z_t$  决定 ( $Z_t$  越大,  $\delta h$  越大)。 $\delta h$  实际上是由趋肤电流所引起 ( $\sigma \neq \infty, \tau \neq 0$ )。这样就看清了表面阻抗微扰法的物理本质。

这一方法也要利用 Леонтьевич 条件。对非各向同性表面, 圆波导理论要按极坐标分开表面阻抗  $Z_s$  和  $Z_\varphi$ , 取各向同性表面, 则  $Z_s = Z_\varphi = Z$ ; 假定 Леонтьевич 条件成立, 则  $Z_s = Z_\varphi = Z_t$ 。这样做带来误差, 但很小。

#### 四、双层平面介质的表面阻抗

这是实际中常遇到的情况, 例如底金属上镀有另一层金属, 或者底金属上有氧化物, 甚至抛光剂没有去干净等, 都可按这种情况考虑。

假定覆盖层厚度为  $d$ , 底金属为无限大厚度 (图 3)。又规定覆盖层的趋肤深度为  $\tau_1$ , 表面电阻为  $R_{m1}$ , 底金属的表面电阻为  $R_{m2}$ , 合成材料的表面阻抗为  $Z$ 。那么, 可以证明:

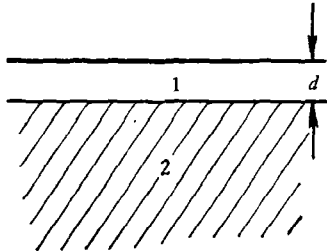


图 3

$$Z = R_{m1}(1 + j) \times \frac{\sinh(1 + j)\alpha + K \cosh(1 + j)\alpha}{\cosh(1 + j)\alpha + K \sinh(1 + j)\alpha}, \quad (13)$$

式中  $\alpha = d/\tau_1$ ,  $K = R_{m2}/R_{m1}$ 。取  $Z$  的实部, 得

$$R_e Z = R_{m1} \times \frac{(K^2 + 1) \sinh 2\alpha + 2K \cosh 2\alpha + (K^2 - 1) \sin 2\alpha}{(K^2 + 1) \cosh 2\alpha + 2K \sinh 2\alpha - (K^2 - 1) \cos 2\alpha}. \quad (14)$$

图 4 是在 3.3 GHz 下, 用谐振腔法测得的复铜钢样品的表面电阻与镀复时间的关系, 说明上式与实验相符。

由于  $R_{m1} = \sqrt{\frac{\pi f \mu_1}{\sigma_1}}$ ,  $R_{m2} = \sqrt{\frac{\pi f \mu_2}{\sigma_2}}$ , 故得

$$K = \sqrt{\frac{\sigma_1 \mu_2}{\sigma_2 \mu_1}}. \quad (15)$$

如果底金属及覆盖层均无磁性, 则有

$$K \approx \sqrt{\frac{\sigma_1}{\sigma_2}}. \quad (16)$$

这时, 可作以下讨论:

$$1. \sigma_1 = 0$$

底金属表面盖有绝缘物层, 可视为此种情况。这

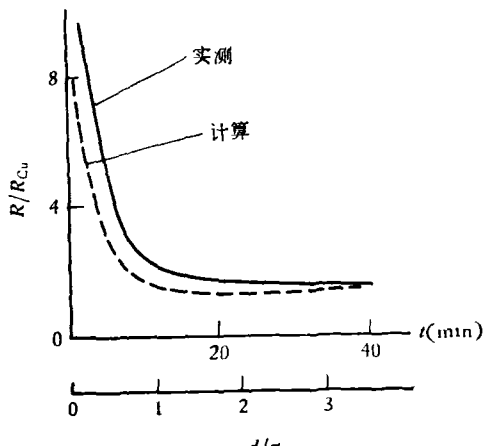


图 4

时有

$$Z = R_{m1}(1 + j) \tanh(1 + j)\alpha. \quad (17)$$

$$2. \sigma_1 \approx \sigma_2$$

覆盖层是镀覆金属层, 而这金属与底金属电导率相近, 这时有

$$Z = R_{m1}(1 + j). \quad (18)$$

$$3. \sqrt{\sigma_1/\sigma_2} = 0.5 - 0.9$$

这是实用上关心的范围。这种情况不能用简化公式, 只能用原来的复杂公式计算。

谐振腔是一个实例, 这种微波元件常常用于物理学的测量 (例如测真空中光速)。设  $\omega_a$  是正常模式  $a$  的角频率,  $\omega$  表示复数谐振频率;  $\omega$  的实部是衰减振荡的频率, 由下式给出:

$$R_e \omega = \omega_a \left[ 1 - \frac{1}{2Q} \left( \frac{X}{R} \right) \right],$$

其中  $Q$  是腔体质量因数,  $R$ ,  $X$  是腔表面阻抗的实部、虚部。显然, 只有在  $R = X$  时, 才得

$$R_e \omega = \omega_a \left[ 1 - \frac{1}{2Q} \right].$$

如果  $R \neq X$ , 使用第二个式子来修正频率, 就会发生误差。图 5 给出  $(X/R) - 1$  与  $\sqrt{\sigma_1/\sigma_2}$  的关系曲线, 参变数(百分数)是测得的表面电阻与从基本材料预计的表面电阻的差值。此图说明: 若  $\sigma_1 \ll \sigma_2$ ,  $(X/R) - 1$  至少大于 0.2。因此,  $X = R$  的假定, 将引起  $2 \times 10^{-6}$  的频率误差 (设  $\omega \approx 10^9$ )。为减小这项误差, 应进行独立的试验以测量  $X/R$ 。否则, 光速测量的精度不可能好于  $2 \times 10^{-6}$ 。这个例子说明: 科学工作者如果希望做成功高精度的实验, 就必须研究实验设备中一切精细之处, 包括表面问题在内。

另外, 当覆盖层的电导率变差, 以致位移电流很可观 ( $\omega \sigma_1/\sigma_2$  可与 1 比拟) 时, 应采用下式:

$$Z = R_{m1} g \frac{g \sinh x + (1 + j) \cosh x}{g \cosh x + (1 + j) \sinh x}. \quad (19)$$

式中

$$g = k \frac{\sqrt{\mu_1/\epsilon_1}}{R_m \sqrt{1 - ip}},$$

$$x = i \sqrt{\mu_1 \epsilon_1} \frac{2\pi}{\lambda_0} d \sqrt{1 - ip},$$

$$p = \frac{\sigma_1}{\omega \epsilon_1},$$

而  $k$  是一个常数。

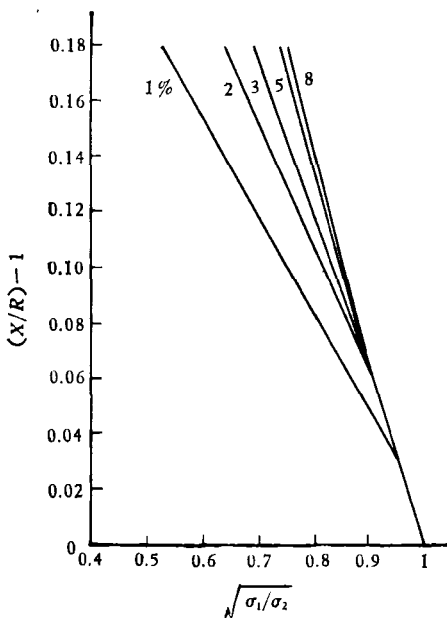


图 5

因此,  $g, x$  是由  $\mu_1, \epsilon_1, \sigma_1, \omega$  决定的复变函数, 计算很不简单。但是, 在  $d \ll \lambda_0$  的条件下(通常都满足这个条件), 如果  $p$  不大, 则可取

$$R_e Z \approx R_{m2} \left[ 1 + R_{m2} \cdot \frac{d}{30\lambda} \sqrt{\frac{\epsilon_1}{\mu_1}} \right]. \quad (20)$$

图 6 是一个实例, 是对于薄层介质或半导电体涂覆在铜表面上的情况。

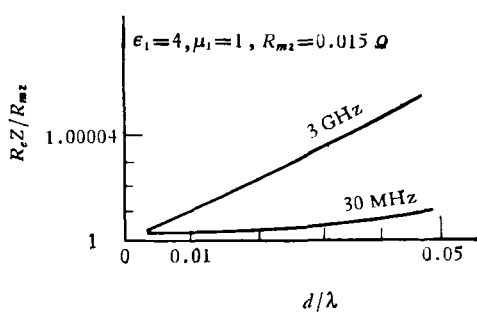


图 6

物理

## 五、表面 $Q$ 深度

表面趋肤深度  $\tau$  的定义, 对于无磁性(或弱磁性)的金属材料, 是很适用的。但是, 如果材料带有磁性( $\mu \neq 1$ ), 趋肤深度在物理上讲还会有所增大。体现在许多精密元件的理论计算公式中的现象是: 趋肤深度常常不以  $\tau$  这个单独的因子出现, 而是以  $\mu, \tau$  的形式出现。对于  $\mu \approx 1$  的材料(例如铜、黄铜), 这是无所谓。然而, 对于  $\mu \neq 1$  的材料(例如弱磁性不锈钢),  $\tau$  的增大可达二十多倍, 是相当可观的。这时, 对表面问题的考虑, 显然很不相同。

为了在理论上估计这种影响, 定义一个新的参量:

$$S^* = \frac{2Z_m}{\omega \mu_0} = \sqrt{\frac{12\mu}{\mu_0}} \tau_0, \quad (21)$$

式中  $\tau_0 \approx 1/\sqrt{\pi \mu_0 \sigma}$ , 代入上式可得

$$S^* = \sqrt{12} \frac{\mu}{\mu_0} \tau = (1 + i) \mu \tau$$

式中  $\tau \approx 1/\sqrt{\pi \mu_0 \sigma}$ , 取  $S_Q = R_e S^*$ , 则得

$$S_Q = \mu \tau. \quad (22)$$

$S_Q$  被称为“表面  $Q$  深度”, 它等于材料的相对导磁率与表面趋肤深度的乘积。它是一个可以测量的量。对于经典的趋肤深度定义而言, 这在理论上是一个发展。

近年来人们常常用弱磁性不锈钢制造精密的微波元件(如谐振腔、精密截止波导等)。这种材料容易精加工, 不要电镀就可使用, 效果很好。它的  $\tau$  值较小(30 MHz 时为  $13.5 \mu\text{m}$ , 而黄铜在同一频率时  $\tau \approx 24.5 \mu\text{m}$ ), 但  $S_Q$  值较大(不锈钢  $\mu \approx 25.7$ , 黄铜  $\mu \approx 1$ )。 $\mu$ , 可能是频率的函数, 这个问题在国内外研究都很不够。

## 六、金属电导率

为了得到金属电导率, 似乎查查手册就可以了。实际上不这么简单, 即使是金属的直流电导率, 也受多种因素的影响。主要因素有:

### 1. 温度

温度为  $t$ (°C) 的直流电导率为

$$\sigma_t = \sigma_0 [1 + a(t - t_0) + b(t - t_0)^2 + \dots]^{-1}, \quad (23)$$

式中  $\sigma_0$  是  $t_0$ (°C) 时的电导率,  $a, b$  是系数。

### 2. 品种和纯度

手册给出的常常是纯金属的电导率。实际材料未必纯, 应用值常与手册不同。例如, 铜的手册值为  $\sigma_0 = (5.7-5.9) \times 10^7 (\Omega \cdot \text{m})^{-1}$ , 测量值为  $(4.5-5.5) \times 10^7 (\Omega \cdot \text{m})^{-1}$ ; 银的手册值为  $\sigma_0 = (6.14-6.17) \times 10^7 (\Omega \cdot \text{m})^{-1}$ 。

测量值为  $4.79 \times 10^7 (\Omega \cdot m)^{-1}$ , 黄铜的  $\sigma_0$  值, 实际常取  $(1.35-1.57) \times 10^7 (\Omega \cdot m)^{-1}$ .

### 3. 加工

加工后由于金属内部晶格缺陷引起的电子散射, 以及导电电子数改变, 都会引起电导率的改变。例如, 钻孔后电导率可变化 10%。

### 4. 表面光洁度

表面光洁度不良时, 高频电流路径显著增大(图 7), 这就加大了表面损耗, 减小了表面电导率。这种现象在微波段十分明显。



图 7

规定表面不平度的均方偏差为

$$H_{CK} = \sqrt{\frac{\sum(r - \bar{r})}{n}},$$

式中  $r$  是某个几何量的测量值,  $n$  为测量点数,  $\bar{r}$  为平均值。对于微波段金属表面问题, 理论分析要以比值  $H_{CK}/\tau$  为基础。根据  $\tau$  的定义, 显然有

$$\frac{H_{CK}}{\tau} \propto \sqrt{f}. \quad (24)$$

这就说明, 频率越高, 越要考虑表面不平的影响。影响的程度, 决定于加工痕迹的方向、形状、深浅。理论分析必须先作出假设(沟槽纹路方向垂直或平行, 纹路断面为三角波或矩形波)。分析表明, 在  $H_{CK}/\tau = 0.4-0.8$  时, 相对损耗因数与  $H_{CK}/\tau$  成正比增加; 在  $H_{CK}/\tau$  值大时, 相对损耗因数趋于恒定。但是, 沟槽方向与电流垂直时, 损耗比平行时增大很多。

为了估计表面光洁度影响, 取

$$\sigma = \frac{\sigma_t}{\alpha}, \quad (25)$$

$\alpha'$  是大于 1 的数(即相对损耗因数), 因而  $\sigma < \sigma_t$ 。当  $H_{CK}/\tau = 0-2, \alpha' = 0-1.8$ 。另外, 当  $H_{CK}/\tau = 0.4-0.8$ , 有下列关系式成立:

$$\frac{\sigma}{\sigma_t} \propto f^{-1/2}, \quad (26)$$

如果光洁度不高( $\nabla 6-\nabla 7$ ), 频率也不高( $f < 50$

MHz),  $H_{CK}/\tau \approx 0.02$ 。这个值很小, 这时  $\alpha'$  引起的电导率降低, 不超过 1%。但在微波频率上, 情况就发生了很大的变化。

## 七、表面有效电导率

表面有效电导率用  $\sigma_{eff}$  表示, 它又称为视在电导率。根据前面的叙述, 它比直流电导率低, 已无疑问。这个参数主要用来估计高频率的影响。

究竟会降低多少呢? 这决定于频率高低、材料种类、镀覆性质等因素。表 3 给出的数据可供参考。

表 3 有效电导率( $f = 9\text{GHz}, t = 22^\circ\text{C}$ )

材料及涂覆情况	直流电导率 $\sigma_i (\Omega \cdot \text{cm})^{-1}$	有效电导率 $\sigma_{eff} (\Omega \cdot \text{cm})^{-1}$	降低率 (%)
银镀在铜或黄铜表面	$6.135 \times 10^{-7}$	$(5.263-5.376) \times 10^{-7}$	12-14
银镀在殷钢表面*	$6.135 \times 10^{-7}$	$5.051 \times 10^{-7}$	18

\* 殷钢热膨胀系数小于黄铜或铝的 1/10, 常用作谐振腔。

还有的试验在 9 GHz 进行, 发现银的有效电导率比直流值低 28%。这些数据可作为厘米波段研究工作的参考。在毫米波, 由于  $\tau$  更小, 有效电导率可能为直流值的一半。

镀金波导也有类似问题存在, 即衰减的实测值可能比理论值大 2-4 倍。因此, 在精密的测量技术中, 建议不要用镀金波导。

## 参 考 文 献

- [1] M. A. Леонович, Исследования по Распространению Радиоволн, Сборник Второй, Изд. АН СССР, 1948.
- [2] J. R. Carson et al., *B. S. T. J.*, 15(1936), 310—333.
- [3] W. L. Barrow, *Proc. IRE.*, 24(1936), 1298—1328.
- [4] A. E. Karbowiak, *Proc. IEEE.*, 102(1955), 698—708.
- [5] Л. Н. Лошаков, Радиотехника, 11-9 (1956), 8—11.
- [6] 林为干, 科学记录, 1-2 (1957), 27—31.
- [7] 黄志洵, 无线电计量, 2 (1975), 13—20.